

ли и пригодности ее для проведения практических расчетов при исследовании свойств устойчивости и управляемости и при отработке алгоритмов управления поворотом колес задней оси.

### СПИСОК ЛИТЕРАТУРЫ

1. Павловский М. А., Путята Т. В. Теоретическая механика. — Киев: Вища Школа, 1985. — 327 с.
2. Смирнов Г. А. Теория движения колесных машин: Учеб. для студентов машиностроительных специальностей вузов. — М.: Машиностроение, 1990. — 352 с.
3. Рождественский Ю. Л., Машков К. Ю. О формировании реакций при качении упругого колеса по недеформируемому основанию / Труды МВТУ. — 1982. — № 390. — С. 56—64.
4. Аксенов П. В. Многоосные автомобили. — М.: Машиностроение, 1980. — 206 с.
5. Антонов Д. А. Теория устойчивости движения многоосных автомобилей. — М.: Машиностроение, 1978. — 216 с.

629.431.73.62-752

## РАСЧЕТ КРУТИЛЬНЫХ КОЛЕБАНИЙ В ТРАНСМИССИИ ПОЛНОПРИВОДНОГО ЛЕГКОВОГО АВТОМОБИЛЯ ПРИ ДВИЖЕНИИ ПО НЕРОВНЫМ ДОРОГАМ И ОПТИМИЗАЦИЯ ПАРАМЕТРОВ ДЕМПФИРУЮЩЕЙ МУФТЫ

*Канд. техн. наук, проф. В. В. ЛОМАКИН, асп. НГУЕН ГУЙ ЧЫОНГ*

*Представлена методика расчета крутильных колебаний в трансмиссии автомобиля при его движении по неровным дорогам. Предложена оптимизация параметров демпфирующей муфты.*

*The article relates to the torsional vibration calculation method in transmissions of the car when it moves on the rough roads. Also optimization of dampening muff parameters is offered.*

Силовой агрегат автомобиля состоит из значительного количества частей: двигателя, маховых масс, соединяющихся через редукторы валами, муфтой и другими элементами с различной угловой жесткостью (рис. 1). Эти конструктивные элементы в совокупности образуют колебательные системы с рассредоточенными массами, поэтому силовой агрегат является одним из значительных источников колебаний в автомобиле.

Для уменьшения резонансов и снижения динамической нагруженности в трансмиссии автомобиля применяются упругодемпфирующие муфты. Важнейшим направлением эффективного использования пассивной виброизоляции муфты является оптимизация ее параметров.

### Методика расчета крутильных колебаний в трансмиссии автомобиля при его движении по неровным дорогам

Динамическая модель для расчета колебаний в трансмиссии полноприводного легкового автомобиля (рис. 1), предложенная в работе, отражает взаимосвязи между крутильными колебаниями силового агрегата, трансмиссии, вертикальными, продольно-угловыми колебаниями масс автомобиля и силового агрегата. В предложенной модели также учитываются возмущающие воздействия на автомобиль со стороны неровностей дороги [1].

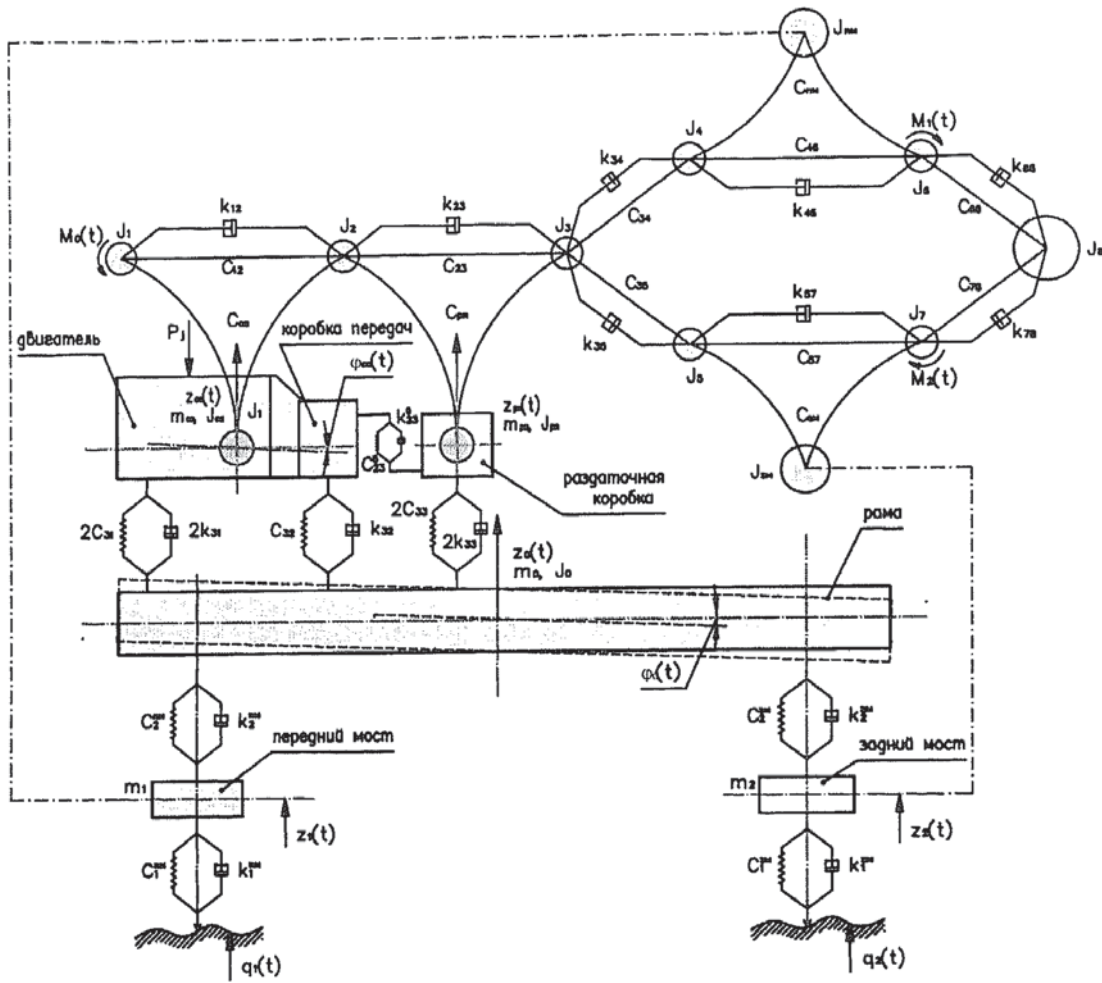


Рис. 1. Динамическая модель для расчета колебаний силового агрегата и крутильных колебаний в трансмиссии полноприводного легкового автомобиля

При определении собственных частот в трансмиссии влиянием трения в системе можно пренебречь, так как оно не оказывает существенного воздействия на их величины. Систему дифференциальных уравнений, описывающую данную модель, можно записать в виде [2]

$$M\ddot{\varphi}_i + K\dot{\varphi}_i + C\varphi_i = Q(t), \tag{1}$$

где  $\varphi_i$  — вектор-столбец перемещений и угловых колебаний масс;  $M$  — матрица инерционных коэффициентов частей автомобиля;  $C$  — матрица коэффициентов жесткостей и крутильных жесткостей;  $K$  — матрица коэффициентов демпфирования;  $Q(t)$  — вектор-столбец возмущающих сил и моментов.

Известно, что спектральная плотность на выходе колебательной системы составляет

$$S_{\text{вых}}(\omega) = |W(i\omega)|^2 S_q(\omega), \tag{2}$$

где  $S_q(\omega)$  — спектральная плотность возмущения системы;  $W(j\omega)$  — частотная характеристика колебательной системы ( $j = \sqrt{-1}$ ), здесь  $W = D^{-1}G$ ;  $D = (-\omega^2 M + j\omega C + K)$  и  $G$  — вектор, определяющий характер возмущения колебательной системы.

Решение (1) имеет вид:  $\varphi_i = \lambda_i \sin(\omega_i t + \alpha)$ , где  $\omega_i$  — вектор собственных частот масс колебаний трансмиссии, определяемый решением уравнения

$$C - \omega_i^2 M = 0. \tag{3}$$

Результаты расчета собственных частот масс трансмиссии полноприводного легкового автомобиля в среде МАТЛАБ при использовании (3) представлены в табл. 1.

Таблица 1

Собственные частоты масс трансмиссии автомобиля ВАЗ 2121

Гц	1-П	2-П	3-П	4-П	5-П
$\omega_1$	2,8578	4,455	6,1571	7,483	8,2581
$\omega_2$	16,4685	16,4171	16,3136	16,2015	16,1215
$\omega_3$	16,6094	16,6099	16,6096	16,6095	16,6102
$\omega_4$	37,0638	34,7934	32,4957	31,1665	30,1704
$\omega_5$	48,687	54,7835	63,5576	73,6634	83,4287
$\omega_6$	112,466	112,44	112,286	112,337	112,316
$\omega_7$	141,894	142,015	142,01	142,176	142,529

Упругий момент в муфте ( $M_{23}$ ) определяется отношением

$$M_{23} = C_{23}(\varphi_2 - \varphi_3), \tag{4}$$

где  $\varphi_2, \varphi_3$  — угловые перемещения масс коробки передач и раздаточной коробки.

Спектральная плотность угловых перемещений масс коробки передач ( $S_{\varphi_2}(\omega)$ ) и раздаточной коробки ( $S_{\varphi_3}(\omega)$ ) определяются так:

$$S_{\varphi_2}(\omega) = [A_n^{\varphi_2}(\omega)]^2 S_n(\omega) + [A_{q_1}^{\varphi_2}(\omega)]^2 S_{q_1}(\omega) + [A_{q_2}^{\varphi_2}(\omega)]^2 S_{q_2}(\omega); \tag{5}$$

$$S_{\varphi_3}(\omega) = [A_n^{\varphi_3}(\omega)]^2 S_n(\omega) + [A_{q_1}^{\varphi_3}(\omega)]^2 S_{q_1}(\omega) + [A_{q_2}^{\varphi_3}(\omega)]^2 S_{q_2}(\omega), \tag{6}$$

где  $A_n^{\varphi_2}(\omega) = |W_n^{\varphi_2}(j\omega)|$  и  $A_n^{\varphi_3}(\omega) = |W_n^{\varphi_3}(j\omega)|$  — амплитудно-частотные характеристики (модули амплитудно-фазовой характеристики) крутящего момента двигателя для масс коробки передач и раздаточной коробки;  $A_{q_1}^{\varphi_2}(\omega) = |W_{q_1}^{\varphi_2}(j\omega)|$ ,  $A_{q_1}^{\varphi_3}(\omega) = |W_{q_1}^{\varphi_3}(j\omega)|$  и  $A_{q_2}^{\varphi_2}(\omega) = |W_{q_2}^{\varphi_2}(j\omega)|$ ,  $A_{q_2}^{\varphi_3}(\omega) = |W_{q_2}^{\varphi_3}(j\omega)|$  — амплитудно-частотные характеристики (модули амплитудно-фазовой характеристики) момента сопротивления движению переднего, заднего мостов полноприводного легкового автомобиля для масс коробки передач и раздаточной коробки;  $S_n(\omega)$  — спектральная плотность возмущения на входе, связанная с крутящим моментом двигателя ( $M_n(t)$ ), определяется преобразованием Фурье:  $S_n(\omega) = \int_{-\infty}^{+\infty} M_n(t)e^{-j\omega t} dt$ , , здесь

$M_n(t) = M_0 \sin(2\omega t)$ ; амплитуду  $M_0$  принимаем для максимального крутящего момента двигателя;  $S_{q_1}(\omega)$ ,  $S_{q_2}(\omega)$  — спектральные плотности микропрофили для переднего и заднего мостов автомобиля определяются:

$$S_q(\omega) = \frac{\sigma^2 A_1 \alpha_1}{\pi(\omega^2 + \alpha^2)} + \frac{\sigma^2 A_2 \alpha_2 (\omega^2 + \alpha_2^2 + \beta_2^2)}{\pi[(\omega^2 + \alpha^2 - \beta_2^2)^2 + 4\alpha^2 \beta_2^2]} \tag{7}$$

В табл. 2 приведены параметры микропрофиля дорожной поверхности для трех типов дороги: асфальтированной, грунтовой и крупнобулыжной.

Таблица 2

Параметры микропрофиля дорожной поверхности

Коэффициенты корреляционной связи	$\sigma$ , м	$A_1$	$A_2$	$\alpha_{01}$ , 1/м	$\alpha_{02}$ , 1/м	$\beta_{02}$ , 1/м
Асфальтированное шоссе	0,008	0,85	0,15	0,2	0,05	0,6
Разбитая грунтовая	0,028	0,85	0,15	0,5	0,2	2
Крупнобулыжный участок	0,0249	0,668	0,336	1,1	10,60	19,71

Из (4) можно определить значение спектральной плотности углового момента в муфте ( $S_{M_{23}}(\omega)$ ):

$$S_{M_{23}}(\omega) = [A_{\pi}^{M_{23}}(\omega)]^2 S_{\pi}(\omega) + [A_{q_1}^{M_{23}}(\omega)]^2 S_{q_1}(\omega) + [A_{q_2}^{M_{23}}(\omega)]^2 S_{q_2}(\omega), \quad (8)$$

где  $A_{\pi}^{M_{23}}(\omega) = |W_{\pi}^{\varphi_3}(j\omega) - W_{\pi}^{\varphi_2}(j\omega)|$ ,  $A_{q_1}^{M_{23}}(\omega) = |W_{q_1}^{\varphi_3}(j\omega) - W_{q_1}^{\varphi_2}(j\omega)|$  и

$A_{q_2}^{M_{23}}(\omega) = |W_{q_2}^{\varphi_3}(j\omega) - W_{q_2}^{\varphi_2}(j\omega)|$  — амплитудно-частотные характеристики (модули амплитудно-фазовой характеристики).

Среднеквадратическое значение упругого момента в муфте ( $M_{23}^{СК}$ ) описывается выражением

$$M_{23}^{СК} = \sqrt{2 \int_0^{\infty} S_{M_{23}}(\omega) d\omega}. \quad (9)$$

Результаты расчета спектральных плотностей упругого момента в муфте с учетом и без учета крутящего момента двигателя в диапазоне частот 0...200 Гц представлены на рис. 2, а в диапазоне частот 0...20 Гц — на рис. 3.

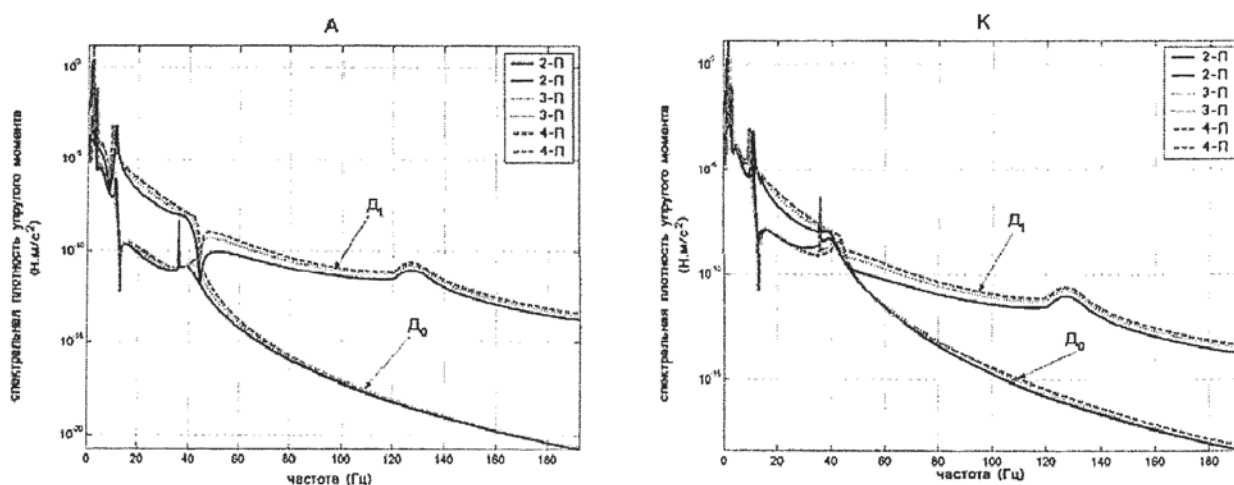


Рис. 2. Спектральная плотность упругого момента в муфте ( $S_{M_{23}}(\omega)$ ) (когда обороты двигателя 3900 об/мин): П-2, П-3, П-4 — при движении автомобиля на второй, третьей, четвертой передачах; А — при движении автомобиля на асфальтированной дороге; К — при движении автомобиля на крупнобулыжном участке;  $D_1$  — с учетом крутящего момента двигателя;  $D_0$  — без учета крутящего момента двигателя

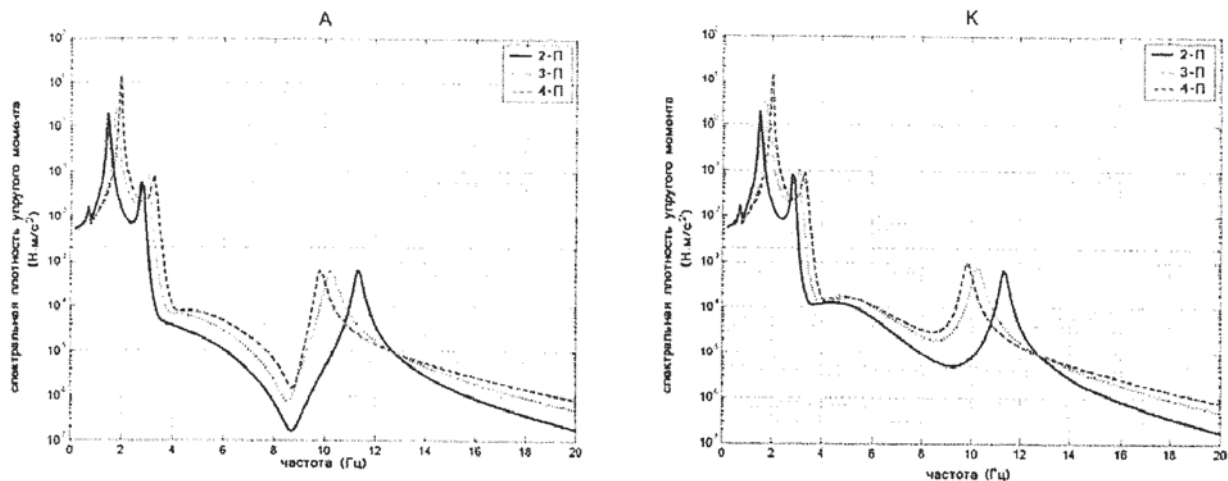


Рис. 3. Спектральная плотность упругого момента в муфте: ( $S_{M_{23}}(\omega)$ ) (когда обороты двигателя 3900 об/мин) П-2, П-3, П-4 — при движении автомобиля на второй, третьей, четвертой передачах; А — при движении автомобиля на асфальтированной дороге; К — при движении автомобиля на крупнобулыжном участке

При анализе результатов расчета спектральных плотностей упругого момента в муфте с учетом влияния крутящего момента двигателя и без него (рис. 2 и 3), отмечаем, что в диапазоне частот 0...20 Гц моменты сопротивления движению автомобиля значительно влияют на крутильные колебания в трансмиссии. А в диапазоне частот 20...200 Гц (эквивалентно оборотами двигателя от 600 до 6000 об/мин) крутильные колебания в трансмиссии зависят от крутящего момента работающего двигателя.

### Методика оптимизации крутильной жесткости муфты трансмиссии

Критериями для оптимизации крутильной жесткости муфты трансмиссии являются [3]: разность ( $\varphi_2^{ck} - \varphi_3^{ck}$ ) угловых перемещений масс коробки передач ( $\varphi_2^{ck}$ ) и раздаточной коробки ( $\varphi_3^{ck}$ ); среднее квадратическое значение упругого момента в муфте ( $M_{23}^{ck}$ ).

Можно предложить следующую методику оптимизации крутильной жесткости муфты трансмиссии, состоящую из следующих этапов:

1) расчета угловых перемещений масс коробки передач ( $\varphi_2^{ck}$ ), раздаточной коробки ( $\varphi_3^{ck}$ ) и среднее квадратического значения упругого момента в муфте ( $M_{23}^{ck}$ ), которые зависят от крутильной жесткости муфты;

2) определения минимальных областей разности угловых перемещений масс раздаточной коробки, коробки передач и среднее квадратического значения упругого момента в муфте:  $\mathbf{A} = \min [\varphi_2^{ck} - \varphi_3^{ck}]$ ;  $\mathbf{B} = \min [M_{23}^{ck}]$ ;

3) определения области оптимальных значений крутильной жесткости муфты (O):

$$(O = A \cap B).$$

Результаты оптимизации крутильной жесткости муфты трансмиссии полноприводного легкового автомобиля представлены на рис. 4.

На рис. 4 показана целевая область оптимизации крутильной жесткости муфты трансмиссии от 1100 до 1500 Н·м/рад. Все точки, лежащие внутри этой области, являются оптимальными для уровня углового момента в муфте.

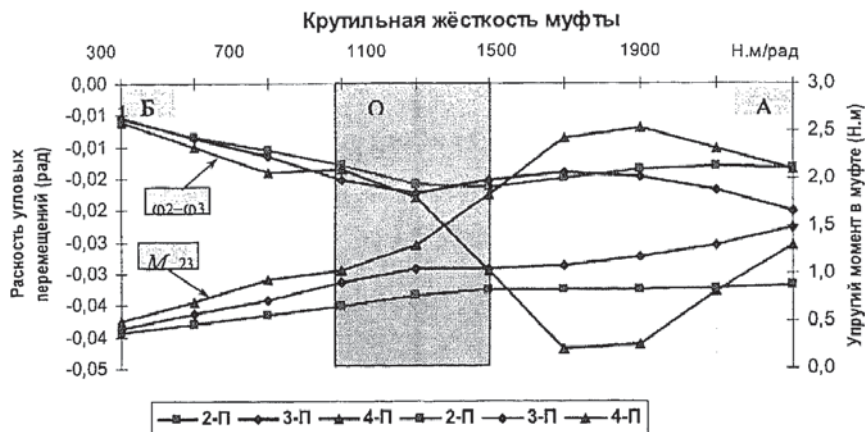


Рис. 4. Области оптимизации крутильной жесткости муфты трансмиссии: П-2, П-3, П-4 — при движении автомобиля на второй, третьей, четвертой передачах; А — целевая область оптимизации зависит от разности; Б — целевая область оптимизации зависит от среднеквадратического значения крутящего момента муфты;  $O = A \cap B$  — области оптимизации

## Выводы

1) В результате проведенных расчетов (табл. 1) были получены значения собственных частот колебаний трансмиссии полноприводного легкового автомобиля на первых пяти передачах, которые лежат в интервале от 2,86 до 142,53 Гц и подразделяются на семь диапазонов (2,86–8,26; 16,12–16,47; 16,6–16,61; 30,17–37,1; 48,69–83,43, 112,3–112,46, 141,9–142,53 Гц).

2. В диапазоне частот 0...20 Гц моменты сопротивления движению полноприводного легкового автомобиля значительно влияют на крутильные колебания в трансмиссии. А в диапазоне частот 20...200 Гц (эквивалентно оборотами двигателя от 600 до 6000 об/мин) крутильные колебания в трансмиссии в большой степени зависят от крутящего момента работающего двигателя.

3. Предложенная методика оптимизации параметров демпфирующих муфт позволяет определить целевую область оптимизации крутильной жесткости муфты трансмиссии ( $O = A \cap B$ ) в диапазоне от 1100 до 1500 Н·м/рад. Формы крутильных колебаний, которые были получены в результате оптимальных величин, имеют минимальные значения.

## СПИСОК ЛИТЕРАТУРЫ

1. Ломакин В. В., Нгуен Гуй Чыонг. Анализ и выбор динамических схем для расчета сложений колебаний силового агрегата автомобиля // Сборник науч. конф. «Колесные машины» МГТУ им. Н. Э. Баумана. — М., 2006. — С. 216—224.
2. Латышев Г. В., Минкин Л. М., Тольский В. Е. Метод расчета колебаний силового агрегата автомобиля, возникающих от воздействия дорожных неровностей // Сб. трудов НАМИ — М., 1973. — Вып. 145. — С. 41—54.
3. Ломакин В. В., Черепанов Л. А. Оптимизация передачи колебаний от силового агрегата на кузов автомобиля. Изд. МВТУ им. Н. Э. Баумана. — М., 1979. — С. 101—106.